

無梁板の解法

(一対辺が固定または単純支持されかつ中間柱にて点支持される場合)

九州大学	正員	山崎徳也
九州大学	正員	橋木 武
九州大学	学生員	○今岡亮司

1 緒言

著者らは先に連續ばかりおよびラーメンの解法にフーリエ級数を用いたが、これを平面板問題に応用拡張して、板周辺が単純支持され、かつ仕様配列したがって仕様間隔の中間支柱にて支持される無梁板に仕様垂直荷重が作用する場合の厳密理論解を発表し⁽²⁾、既往の諸研究よりも広汎な構造形式および荷重状態の無梁板の解析を可能ならしめるとともに、本法が簡単な多元連立一次方程式にもとづいて未知不静定反力を直接求めること、必要とあらば仕様点の変位量を未知不静定反力と同時にかつ簡単に求めえ、また逆に中間支点の支点沈下の問題を解きうる等その適用が多面的であること等の優れた利点をもつことを述べたが、さらに、同様の手法によって板周辺が仕様境界条件によって支持される無梁板の解析を行うことができ、本研究は無梁板解法の第二報として、一対辺が単純支持され、他対辺が固定または単純支持され、かつ中間にて点支持される無梁板の解法を提示せんとするものである。

2 解法

(1) 板のたわみ曲面式 図-1に示すことく矩形板ABCDに直交座標系(x, y, z)を導入し、辺AB, CDが単純支持されるものとする。しかるとき、板面に対して垂直な仕様荷重g(x, y)が作用するものとすれば板のz軸方向のたわみw(x, y)は一般に次式で表わされる。

$$w(x, y) = \sum_{m=1}^{\infty} \left\{ A_m \sinh \beta_m x + B_m x \sinh \beta_m x + C_m \cosh \beta_m x + D_m x \cosh \beta_m x \right\} \sin \beta_m y + \sum_{m=1}^{\infty} \sum_{n=1}^{\infty} G_{mn} \sin \alpha_m x \sin \beta_n y \quad (1)$$

$$\text{ここで } \alpha_m = \frac{m\pi}{a}, \beta_n = \frac{n\pi}{b}, G_{mn} = \frac{f_{mn}}{D(\alpha_m^2 + \beta_n^2)^2}$$

$$f_{mn} = \frac{4}{ab} \int_0^a g(x, y) \sin \alpha_m x \sin \beta_n y dx, \quad D: \text{板剛度} (EJ_{12}(1-\nu^2)), \quad E: \text{板の弾性係数}$$

h: 板の厚さ, ν : 板のポアソン比

辺ACおよびBDにおいて、端モーメント $M_A(y)$ および $M_B(y)$ (図-1で示す方向を正とする) が作られ、かつ沈下 $\delta_A(y)$ および $\delta_B(y)$ を起すものとすれば辺AC, BDの境界条件は次のとおりである。

$$\left. \begin{aligned} x=0 \text{ で } w(a, y) &= \delta_A(y), \quad M_x = -D \left(\frac{\partial^2 w}{\partial x^2} + \nu \frac{\partial^2 w}{\partial y^2} \right)_{x=0} = M_A(y) \\ x=a \text{ で } w(a, y) &= \delta_B(y), \quad M_x = -D \left(\frac{\partial^2 w}{\partial x^2} + \nu \frac{\partial^2 w}{\partial y^2} \right)_{x=a} = M_B(y) \end{aligned} \right\} \quad (2)$$

$\delta_A(y)$, $\delta_B(y)$, $M_A(y)$, $M_B(y)$ はyに関する任意関数で次のとく正弦フーリエ級数にて表わしうるものと仮定する。 $\delta_A(y) = \sum_{m=1}^{\infty} S_m \sin \beta_m y$, $\delta_B(y) = \sum_{m=1}^{\infty} S_m \sin \beta_m y$, $M_A(y) = \sum_{m=1}^{\infty} M_m \sin \beta_m y$, $M_B(y) = \sum_{m=1}^{\infty} M_m \sin \beta_m y$ (3)

式(3)および式(1)を式(2)に代入すれば次のとく連立方程式をうる。

$$\left. \begin{aligned} \sum_{m=1}^{\infty} C_m \sin \beta_m y &= \sum_{m=1}^{\infty} S_m \sin \beta_m y \\ \sum_{m=1}^{\infty} \left\{ A_m \sinh \beta_m y + B_m y \sinh \beta_m y + C_m \cosh \beta_m y + D_m y \cosh \beta_m y \right\} \sin \beta_m y &= \sum_{m=1}^{\infty} S_m \sin \beta_m y \\ - D \sum_{m=1}^{\infty} \left\{ B_m \beta_m^2 + C_m \beta_m^2 (1-\nu) \right\} \sin \beta_m y &= \sum_{m=1}^{\infty} M_m \sin \beta_m y \end{aligned} \right\} \quad (4)$$

$$- D \sum_{n=1}^{\infty} \left\{ A_n \beta_n^2 (1-\nu) \sinh \beta_n l + B_n (2 \beta_n \cosh \beta_n l + \beta_n l \sinh \beta_n l - \nu \beta_n l \sinh \beta_n l) + C_n \beta_n^2 (1-\nu) \cosh \beta_n l \right. \\ \left. + D_n (2 \beta_n \sinh \beta_n l + \beta_n l \cosh \beta_n l - \nu \beta_n l \sinh \beta_n l) \right\} \sin \beta_n y = - \sum_{n=1}^{\infty} M_{Bn} \sin \beta_n y$$

$$\text{ここで } l_m = \beta_m a = \frac{m\pi}{\mu}, \quad \mu = \frac{\pi}{a}$$

式(4)を連立に解けば積分定数 $A_n \sim D_n$ が決定され次値となる。

$$A_n = - M_{An} \frac{a}{2 D \beta_n \sinh^2 \beta_n} - M_{Bn} \frac{a \cosh \beta_n l}{2 D \beta_n \sinh \beta_n} - S_{An} \frac{\beta_n (1-\nu) + 2 \cosh \beta_n l \sinh \beta_n}{2 \sinh^2 \beta_n} + S_{Bn} \frac{2 \cosh \beta_n l + \beta_n (1-\nu) \cosh \beta_n l}{2 \sinh^2 \beta_n} \\ B_n = - M_{An} \frac{1}{2 D \beta_n} - S_{An} \frac{\beta_n (1-\nu)}{2}, \quad C_n = S_{Bn} \\ D_n = M_{An} \frac{\cosh \beta_n l}{2 D \beta_n \sinh \beta_n} + M_{Bn} \frac{1}{2 D \beta_n \sinh \beta_n} + S_{An} \frac{\beta_n (1-\nu) \cosh \beta_n l}{2 \sinh \beta_n l} - S_{Bn} \frac{\beta_n (1-\nu)}{2 \sinh \beta_n l}$$

次に、無梁板を支える中間支点を 11, 12, ..., i1, ..., iS とし、板に任意垂直荷重 $p(x, y)$ が作用するときに各中間支点に生ずる垂直反力を $V_{11}, V_{12}, \dots, V_{i1}, \dots, V_{iS}$ とする。なお支点反力の符号は上向きを正とするしかるべきとき、これら $p(x, y)$ や V_{ij} を二重正弦フーリエ級数に展開すれば次のとくなる。

$$p(x, y) = \sum_{m=1}^{\infty} \sum_{n=1}^{\infty} F_{mn} \sin m\pi x \sin \beta_n y, \quad V_{ij} = \sum_{m=1}^{\infty} \sum_{n=1}^{\infty} F_{mj}^i \sin m\pi x \sin \beta_n y, \quad i=1, 2, \dots, r, \quad j=1, 2, \dots, s$$

$$\text{ここで } F_{mn} = \frac{4}{ab} \int_0^a \int_0^b p(x, y) \sin m\pi x \sin \beta_n y dy dx, \quad F_{mj}^i = \frac{4}{ab} V_{ij} \sin m\pi x_i \sin \beta_n y_j$$

(x_i, β_j) は点 (i, j) の座標値である。

無梁板に働く任意垂直荷重 $p(x, y)$ の他に各中間支点における反力 V_{ij} をも荷重とみなせば、板に作用する全荷重 $g(x, y)$ はこれら荷重 $p(x, y)$ や V_{ij} の和で表わされ、したがって式(1)の f_{mn} は次の値となる。
(文献(2)参照)

$$f_{mn} = F_{mn} - \frac{4}{ab} \sum_{i=1}^r \sum_{j=1}^s V_{ij} \sin m\pi x_i \sin n\pi \beta_j \quad (6)$$

式(6)および式(5)を式(1)に代入すれば、図-1 に示す無梁板のたわみ曲面式 $w(x, y)$ が次のとくえらべる。

$$w(x, y) = \sum_{n=1}^{\infty} \left\{ M_{An} \left(- \frac{a \sinh \beta_n x}{2 D \beta_n \sinh^2 \beta_n} - \frac{x \sinh \beta_n x}{2 D \beta_n} + \frac{x \cosh \beta_n x \cosh \beta_n x}{2 D \beta_n \sinh \beta_n} \right) \right. \\ + M_{Bn} \left(- \frac{\cosh \beta_n x \sinh \beta_n x}{2 D \beta_n \sinh^2 \beta_n} + \frac{x \cosh \beta_n x}{2 D \beta_n \sinh \beta_n} \right) \\ + S_{An} \left(- \frac{\beta_n (1-\nu) + 2 \cosh \beta_n l \sinh \beta_n l \sinh \beta_n x}{2 \sinh^2 \beta_n} - \frac{x \beta_n (1-\nu) \cosh \beta_n x}{2} + \cosh \beta_n x \right. \\ \left. + \frac{x \beta_n (1-\nu) \cosh \beta_n x \cosh \beta_n x}{2 \sinh^2 \beta_n} \right) \\ + S_{Bn} \left(\frac{x \sinh \beta_n l + \beta_n (1-\nu) \cosh \beta_n l \sinh \beta_n x}{2 \sinh^2 \beta_n} - \frac{x \beta_n (1-\nu) \cosh \beta_n x}{2 \sinh \beta_n} \right) \} \sin \beta_n y \\ + \sum_{m=1}^{\infty} \sum_{n=1}^{\infty} \frac{f_{mn}}{(a_m^2 + \beta_n^2)^2} \sin m\pi x \sin \beta_n y \quad (7)$$

式(7)において M_{An}, M_{Bn} よりも中間支点の支点反力 V_{ij} が明らかになれば、たわみ曲面 $w(x, y)$ が計算でき、したがって本題の無梁板の諸変位および諸断面力が全て求まることとなる。

(2) 基本連立方程式

図-1 に示す無梁板において中間支点 (k, l) の垂直変位を d^{kl} (下向きを正とする) とすれば、板における同じ点 (k, l) のたわみ $w(a_k x, b_l y)$ がこの中間支点の垂直変位 d^{kl} と等しくなければならないことより次のこじき変形条件式をさうる。

$$d^{kl} = w(a_k x, b_l y) \quad k=1, 2, \dots, r, \quad l=1, 2, \dots, s \quad (8)$$

式(8)に式(7)を代入し演算のうえ整理すれば次のこじき一連の条件式が求められる。

$$\sum_{i=1}^r \sum_{j=1}^s V_{ij} D_{ij}^{kl} + \sum_{m=1}^{\infty} M_{An} D_{An}^{kl} + \sum_{n=1}^{\infty} M_{Bn} D_{Bn}^{kl} + \sum_{m=1}^{\infty} S_{An} D_{An}^{kl} + \sum_{n=1}^{\infty} S_{Bn} D_{Bn}^{kl} = \frac{ab}{4} D^{kl} - \frac{ab}{4} D d^{kl} \quad (9)$$

$$\text{ここで } k=1, 2, 3, \dots, r, \quad l=1, 2, 3, \dots, s,$$

$$D_{ij}^{kl} = \sum_{m=1}^{\infty} \sum_{n=1}^{\infty} \frac{1}{K_{mn}} \sin m\pi x_i \sin n\pi y_j \sin m\pi x_k \sin n\pi y_l$$

$$\begin{aligned}
D_{mn}^{kl} &= \frac{ab}{8} \left(\frac{a \sinh t_m}{\sinh t_m} + \frac{\alpha a \cosh t_m}{\sinh t_m} - \frac{\alpha b \cosh t_n \coth t_m}{\sinh t_m} \right) \sin m \pi \beta_l, \\
D_{mn}^{kl} &= \frac{ab}{8} \left(\frac{\alpha a \cosh t_m}{\sinh t_m} - \frac{\alpha b \cosh t_n}{\sinh t_m} \right) \sin m \pi \beta_l, \\
D_{mn}^{kl} &= \frac{abD}{8} \left(\frac{t_n(1-\nu) \sinh t_m}{\sinh^2 t_m} + \frac{2 \cosh t_n \coth t_m}{\sinh t_m} + \alpha t_n(1-\nu) \sinh t_m \right. \\
&\quad \left. - 2 \cosh t_m - \frac{t_n(1-\nu) \alpha \cosh t_n \coth t_m}{\sinh t_m} \right) \sin m \pi \beta_l, \\
D_{mn}^{kl} &= \frac{abD}{8} \left(-2 \cosh t_m - \frac{t_n(1-\nu) \cosh t_n \coth t_m}{\sinh^2 t_m} + \frac{t_n(1-\nu) \alpha \cosh t_m}{\sinh t_m} \right) \sin m \pi \beta_l, \\
D^{kl} &= \sum_{m=1}^{\infty} \sum_{n=1}^{\infty} \frac{F_{mn}}{K_{mn}} \sin m \pi \alpha_l \sin n \pi \beta_l, \\
K_{mn} &= (\alpha_m^2 + \beta_n^2)^2
\end{aligned}$$

次に、辺 AC および BD におけるたわみ角は一般に y のみの関数であるゆえ次のとき正弦フーリエ級数式で表わされるものと仮定する。

$$D_A(y) = \sum_{m=1}^{\infty} D_{Am} \sin \alpha_m y \quad D_B(y) = \sum_{m=1}^{\infty} D_{Bm} \sin \beta_m y \quad (10)$$

他方、式(7)の第一次微係数 $\frac{\partial w}{\partial x}$ をとり、辺 AC および BD の座標値を代入すれば、それそれの辺におけるたわみ角がえられるゆえ、これらを式(10)と等置し演算のうえ整理すれば次のとき、 D_{Am}, D_{Bm} と $V_{kl}, M_{Am}, M_{Bm}, S_{Am}, S_{Bm}$ との関係式が得られる。

$$\left. \begin{aligned}
\sum_{l=1}^{\infty} V_{lj} D'_{lj}(m) + M_{Am} D'_{Am} + M_{Bm} D_{Bm} + S_{Am} D'_{Bm} + S_{Bm} D_{Am} &= D'_A(m) - \frac{abD}{4} D_{Am} \\
\sum_{l=1}^{\infty} V_{lj} \bar{D}'_{lj}(m) + M_{Am} \bar{D}_{Am} + M_{Bm} \bar{D}_{Bm} + S_{Am} \bar{D}_{Bm} + S_{Bm} \bar{D}_{Am} &= \bar{D}_B(m) - \frac{abD}{4} D_{Bm}
\end{aligned} \right\} \quad (11)$$

$m = 1, 2, 3, 4, \dots$

ここで

$$\begin{aligned}
D'_l(m) &= \sum_{k=1}^{\infty} \frac{\alpha_k}{K_{km}} \sin m \pi \alpha_k \sin n \pi \beta_l \\
D_{Am} &= \frac{ab}{8 \sinh t_m} \left(\frac{a}{\sinh t_m} - \frac{\alpha a \cosh t_m}{\sinh t_m} \right) \\
D_{Bm} &= \frac{ab}{8 \sinh t_m} \left(\frac{\alpha a \cosh t_m}{\sinh t_m} - \frac{1}{\beta_m} \right) \\
D'_{Am} &= \frac{abD \alpha_m}{8 \sinh t_m} \left(\frac{t_n(1-\nu)}{\sinh t_m} + (1+\nu) \coth t_m \right) \\
D'_{Bm} &= -\frac{abD \beta_m}{8 \sinh t_m} \left((1+\nu) + \frac{t_n(1-\nu) \coth t_m}{\sinh t_m} \right) \\
D'_A(m) &= \frac{ab}{4} \sum_{m=1}^{\infty} \frac{F_{mn}}{K_{mn}}
\end{aligned}$$

$$\begin{aligned}
\bar{D}'_l(m) &= \sum_{k=1}^{\infty} \frac{\alpha_k(-1)^m}{K_{km}} \sin m \pi \alpha_k \sin n \pi \beta_l \\
\bar{D}_{Am} &= \frac{ab}{8 \sinh t_m} \left(\frac{\alpha a \cosh t_m}{\sinh t_m} - \frac{1}{\beta_m} \right) \\
\bar{D}_{Bm} &= \frac{ab}{8 \sinh t_m} \left(\frac{\alpha a \cosh t_m}{\sinh t_m} - \frac{\cosh t_m - \nu \sinh t_m}{\beta_m} \right) \\
\bar{D}_{Am} &= \frac{abD \alpha_m}{8 \sinh t_m} \left(\frac{t_n(1-\nu)}{\sinh t_m} + (1+\nu) \right) \\
\bar{D}_{Bm} &= -\frac{abD \beta_m}{8 \sinh t_m} \left(\frac{t_n(1-\nu)}{\sinh t_m} + (1+\nu) \coth t_m \right) \\
\bar{D}_B(m) &= \frac{ab}{4} \sum_{m=1}^{\infty} \frac{F_{mn} \alpha_m (-1)^m}{K_{mn}}
\end{aligned}$$

式(9)および式(11)が本題の無梁板を解析するための基本連立方程式であり、これら諸式における未知数のうち V_{kl} と D^{kl} とのいずれか一方が、例えば中間支点の支点沈下がなければ $D^{kl} = 0$ 、また中間支点がなければ $V_{kl} = 0$ 等の条件を含めて他の条件より明らかとなれば、連立方程式の数と未知数の数が一致し、したがって、これら諸式が連立にとけ、本題の無梁板解析が可能となる。

3 計算例

図-2に示すことなく辺 AB, BD, CD を単純支持

され辺 AC が固定される無梁板に等分布荷重 p_0 が満載される場合の計算例を示す。次のとおりである。板周辺および中間支点の沈下がない場合は、

$$d^{11} = d^{12} = d^{21} = d^{22} = 0, \quad S_{Am} = S_{Bm} = 0 \quad \text{であり,}$$

また $\theta_{Am} = 0, M_{Am} = 0$ であるから式(9)および(11)に示す基本連立方程式は次の内容となる。

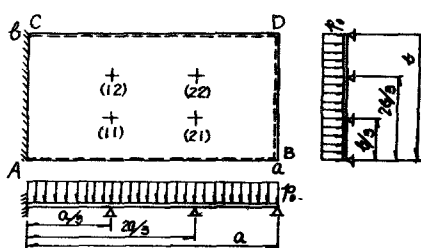


図-2

$$\left. \begin{aligned} V_1 D_1^1 + V_{1z} D_{1z}^1 + V_{21} D_{21}^1 + V_{2z} D_{2z}^1 + \sum_{n=1}^{\infty} M_{1n} D_{1n}^1 &= \frac{0.6}{4} D^1 \\ V_1 D_1^2 + V_{1z} D_{1z}^2 + V_{21} D_{21}^2 + V_{2z} D_{2z}^2 + \sum_{n=1}^{\infty} M_{1n} D_{1n}^2 &= \frac{0.6}{4} D^2 \\ V_1 D_1^3 + V_{1z} D_{1z}^3 + V_{21} D_{21}^3 + V_{2z} D_{2z}^3 + \sum_{n=1}^{\infty} M_{1n} D_{1n}^3 &= \frac{0.6}{4} D^3 \\ V_1 D_1^4 + V_{1z} D_{1z}^4 + V_{21} D_{21}^4 + V_{2z} D_{2z}^4 + \sum_{n=1}^{\infty} M_{1n} D_{1n}^4 &= \frac{0.6}{4} D^4 \\ V_1 D_1' + V_{1z} D_{1z}' + V_{21} D_{21}' + V_{2z} D_{2z}' + M_{1n} D_{1n}' &= D_A(n) \end{aligned} \right\} \quad (12)$$

$$n=1, 2, 3, \dots$$

式(12)は未知数 M_{1n} の単純項と級数和の項で示されるため一種の試算による収束計算となる。いま辺長比 $\mu = \frac{b}{a} = 0.5$ に対して上記基本連立方程式より未知反力 $V_1, V_{1z}, V_{21}, V_{2z}$, および M_{1n} を求めれば式(3)および表-1に示す諸数値をうる。

$$V_1 = V_{1z} = 0.06389 P_0 \alpha^2, \quad V_{21} = V_{2z} = 0.06395 P_0 \alpha^2 \quad (13)$$

n	$M_{1n} \times P_0 \alpha^2$	n	M_{1n}	n	M_{1n}	n	M_{1n}
1	-0.00888	5	-0.00026	9	-0.00004	13	-0.00001
2	0.0	6	0.0	10	0.0	14	0.0
3	-0.00119	7	-0.00009	11	-0.00002	15	-0.00001
4	0.0	8	0.0	12	0.0	16	0.0

表-1

表-1 の諸値を式(3)に代入して、辺 A C における端モーメントを算出すれば図-3 に示すことき M 図をうる。

4 結語

本研究は中間支点において点支持される場合を取り扱ったが、同様の手法により中間支柱の反力モーメントを考慮して柱と板とが剛結する無梁板の解法も可能であり、これについては後日発表の予定である。

本研究には文部省科学研究費の補助を受けた、記して謝意を表す。

文献 (1) 山崎、榎木：フーリエ級数による連續ばかりおよびラーメンの解法 九州大学工学集報第39巻第3号

昭和41年10月

(2) 山崎、榎木：周辺で単純支持される無梁板の解法 土木学会論文集第136号 昭和41年12月

(3) 例えは K. Graub : *Piltzdecken Theorie und Berechnung*, Berlin 1948,
Wilhelm Ernst & Sohn

Lewe : *Piltzdecken und andere tragerlose Eisenbetonplatten*,
2 aufl Berlin 1926, Wilhelm Ernst & Sohn

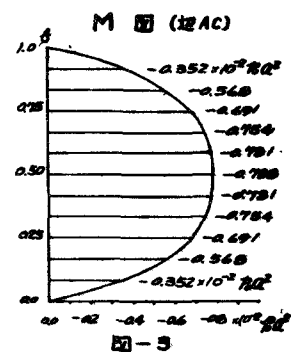


図-3